



Événement climatique de 8200 AP

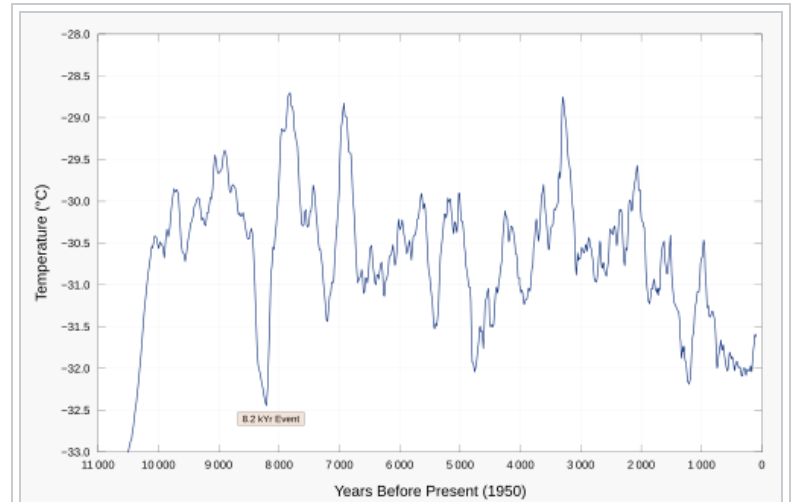
18 langues

[Article](#) [Discussion](#)

[Lire](#) [Modifier](#) [Modifier le code](#) [Voir l'historique](#) [Outils](#)

L'**événement climatique de 8200 AP** est

l'expression employée par les [climatologues](#) pour décrire la chute brutale des températures qui s'est produite environ 8 200 ans [avant le présent](#) (AP), ou environ 6 200 ans av. J.-C. Cette [anomalie climatique](#) s'est ensuite prolongée durant deux à quatre siècles. Pendant cette période, les températures sont demeurées plus élevées que durant le [Dryas récent](#), mais plus froides que durant le [Petit âge glaciaire](#). Cet évènement a constitué une exception notable durant l'[optimum climatique de l'Holocène](#). Durant l'évènement, la concentration atmosphérique de [méthane](#) a chuté de 80 [ppb](#), ce qui indique une réduction des émissions de 15 %¹.



Évolution des températures au Groenland, de -11 000 ans jusqu'à aujourd'hui.

Identification [[modifier](#) | [modifier le code](#)]

Un refroidissement rapide autour de 6200 av. J.-C. a été reconnu pour la première fois par le [botaniste](#) suisse Heinrich Zoller en 1960 dans le [val Mesolcina](#). Il l'a désigné par l'expression *Misox oscillation*². Cet événement, identifié également en Norvège, y est nommé *Finse event*³. En 1997, Bond et ses collaborateurs ont supposé qu'il était lié à un cycle climatique de 1 500 ans⁴. Les recherches postérieures ont cependant montré que cette hypothèse n'était probablement pas la seule, et sans doute pas la principale, pour expliquer ce phénomène climatique.

Les traces les plus évidentes laissées par cet événement se trouvent dans les régions de l'[Atlantique nord](#). Elles sont notamment visibles dans les [carottes de glace](#) prélevées au [Groenland](#) et dans les strates [sédimentaires](#) à la fois des [zones tempérées](#) et des [zones tropicales](#)^{5,6,7}. Il est moins perceptible dans les carottes glaciaires extraites en [Antarctique](#) et dans les couches sédimentaires d'[Amérique du Sud](#)^{8,9}.

Refroidissement [[modifier](#) | [modifier le code](#)]

Ce refroidissement serait dû essentiellement à un apport majeur d'eau glacée dans l'[Atlantique](#) en raison de l'effondrement final de l'[Inlandsis laurentidien](#) qui recouvrait une grande partie de l'Amérique du Nord.

Lors du réchauffement climatique du début de l'[Holocène](#) de gigantesques lacs issus de la fonte des glaces se sont formés dans ces régions. À la suite de l'effondrement de barrages naturels, deux de ces lacs, le [lac Ojibway](#) et le [lac Agassiz](#), se seraient brutalement déversés dans l'océan Atlantique^{10, 11, 12}. Leurs eaux très froides et à la [salinité](#) très faible auraient affecté la [circulation thermohaline](#) de l'Atlantique nord, réduisant le transport de chaleur de l'Atlantique et produisant un refroidissement du climat.

L'estimation de l'ampleur du refroidissement varie selon les moyens par lesquels on le mesure de 1 à 5 °C. Les baisses de températures les plus fortes se sont produites dans les régions du nord de l'Atlantique, alors qu'en Europe elles ont atteint environ 0,5-1 °C et moins de 0,5 °C dans les régions subtropicales du nord de l'Atlantique¹³. Au [Groenland](#), le refroidissement a débuté autour de 8175 [avant le présent](#) et en moins de 20 ans les températures moyennes ont baissé de 3,3 °C. La période la plus froide a duré environ 60 ans et l'événement complet autour de 150 ans¹. En [Indonésie](#), des carottes extraites d'un ancien [récif corallien](#) témoignent d'une baisse des températures d'environ 3 °C¹⁴. Au sud de l'Atlantique, on observe au contraire une hausse des températures très limitée de moins de 0,5 °C¹³. Une aridité remarquable a également été identifiée en [Afrique du Nord](#) et, dans le même temps, l'[Afrique de l'Est](#) a subi une [sécheresse](#) généralisée de cinq siècles. L'événement a provoqué une chute globale du taux atmosphérique de CO₂ d'environ 25 [ppm](#) sur une période de plus de 300 ans¹⁵.

Hausse du niveau de la mer [[modifier](#) | [modifier le code](#)]

Selon Claude Hillaire-Marcel, environ 160 000 km³ d'eau se seraient déversés en moins de deux ans du lac Agassiz vers l'océan¹⁶. Le [niveau de la mer](#) aurait alors monté de 0,5 à 4 m en plus de la hausse naturelle liée au [réchauffement climatique post-glaciaire](#)¹⁷. Ces variations sont perceptibles y compris dans des régions éloignées de l'Amérique du Nord.

Dans la zone de la [baie d'Hudson](#), en raison des rééquilibrages [eustatiques](#), la hausse du niveau de la mer a été modérée. Par rapport à la hausse moyenne, les différences régionales sont en effet très importantes. Dans le [delta du Mississippi](#), la hausse observée n'atteint que 20 % de la moyenne globale, dans le nord-ouest de l'Europe elle atteint environ 70 % et en Asie environ 105 %¹⁸. Alors que le refroidissement global fut temporaire, le nouveau niveau de la mer s'est maintenu.

Conséquences sur l'environnement et le peuplement humain [[modifier](#) | [modifier le code](#)]

Ce changement climatique a eu des conséquences très importantes sur l'environnement et sur les populations humaines. Leur intensité et leur nature mêmes ont été très variables selon les régions¹⁹, elles sont toutefois beaucoup plus fortes que ce qui était supposé dans un premier temps²⁰. Cet événement est en effet le dernier en date connu dont l'intensité est comparable aux [événements de Heinrich](#) durant la dernière [glaciation](#)²¹. Ainsi, dans l'Est de la Méditerranée, la réduction significative des pollens d'arbres correspondrait à une baisse des températures hivernales de plus de 4 °C²². Dans la région du [lac de l'Accesa \(it\)](#) ([Italie centrale](#)) les hivers, mais aussi les étés, sont devenus nettement plus humides alors que, au contraire, à Tenaghi Philippon ([Grèce](#)), les hivers sont restés secs et les étés sont devenus

humides²³. Les régions bordant l'Atlantique, quant à elles, ont probablement connu des inondations catastrophiques en raison d'une hausse de la mer d'environ 0,5 m²⁴.

Ces événements climatiques extrêmes ont altéré la préservation des sites archéologiques, comme dans le site de [Sidari](#) (île de [Corfou](#)) dont les couches d'occupation ont été détériorées par des phases de pluies diluviennes^{25,26}. Dans certaines régions, il est difficile d'affirmer que l'absence de sites est liée à la disparition des populations ou à la dégradation des sites²⁷. Toutefois, même en tenant compte de ce facteur, on constate une diminution, et dans certaines régions une disparition des sites archéologiques, et probablement de l'occupation humaine. Le [Proche-Orient](#) a connu un déclin démographique²⁸ et les grands villages ont été abandonnés²⁹. Des régions entières semblent dépeuplées pendant plusieurs siècles, notamment au nord de la Méditerranée²⁵, à l'exception remarquable du site de [Lepenski Vir](#) dans les [Portes de Fer](#)³⁰. Dans le Sud de la France, en se basant sur les [datations carbone 14](#), les sites [mésolithiques](#) ont disparu des abords de la Méditerranée et ont reculé au nord d'une ligne passant par [Montélimar](#)³¹. Les îles méditerranéennes se sont dépeuplées³², par exemple la [Corse](#) qui était régulièrement fréquentée par des populations mésolithiques durant le [8^e millénaire](#), n'est pas occupée durant les quelques siècles précédant le début du [Néolithique](#), au début du [6^e millénaire](#)³³. La [péninsule ibérique](#) fut également très affectée³⁴. Au sud de la Méditerranée, on observe aussi des changements environnementaux et des changements culturels durant cette période³⁵.

Au contraire, la première occupation du Nord des [Balkans](#) par des agriculteurs-éleveurs, comme dans le site de Džuljunica-Smārdeš en [Bulgarie](#)³⁶, serait une conséquence directe de cet événement climatique. Il est donc possible que le développement du [Néolithique](#) vers l'[Europe centrale](#) et [occidentale](#) mais aussi à l'intérieur de la [Turquie](#)³⁷ ait été au moins en partie provoqué par ce dernier³⁸.

Notes et références [[modifier](#) | [modifier le code](#)]

- ↑ ^a et ^b T. Kobashi *et al.*, « Precise timing and characterization of abrupt climate change 8,200 years ago from air trapped in polar ice », *Quaternary Science Reviews*, vol. 26, 2007, p. 1212–1222 (DOI [10.1016/j.quascirev.2007.01.009](#), Bibcode [2007QSRv...26.1212K](#))
- ↑ **(de)** Heinrich Zoller, « Pollenanalytische Untersuchungen zur Vegetationsgeschichte der insubrischen Schweiz », *Denkschriften der Schweizerischen Naturforschenden Gesellschaft*, vol. 83, 1960, p. 45–156 (ISSN [0366-970X](#))
- ↑ Atle Nesje et Dahl, Svein Olaf, « The Greenland 8200 cal. yr BP event detected in loss-on-ignition profiles in Norwegian lacustrine sediment sequences », *Journal of Quaternary Science*, vol. 16, n^o 2, 2001, p. 155–166 (DOI [10.1002/jqs.567](#), Bibcode [2001JQS....16..155N](#))
- ↑ Bond, G. *et al.*, « A Pervasive Millennial-Scale Cycle in North Atlantic Holocene and Glacial Climates », *Science*, vol. 278, n^o 5341, 1997, p. 1257–66 (DOI [10.1126/science.278.5341.1257](#), Bibcode [1997Sci...278.1257B](#), lire en ligne [[archive](#)])
- ↑ R. B. Alley *et al.*, « Holocene climatic instability; a prominent, widespread event 8,200 yr ago », *Geology*, vol. 25, n^o 6, 1997, p. 483–6 (DOI [10.1130/0091-7613\(1997\)025<0483:HCIAPW>2.3.CO;2](#), Bibcode [1997Geo....25..483A](#), lire en ligne [[archive](#)])
- ↑ Richard B. Alley et Ágústsdóttir, Anna Maria, « The 8k event: cause and consequences of a major Holocene abrupt climate change », *Quaternary Science Reviews*, vol. 24, n^{os} 10-11, 2005, p. 1123–49 (DOI [10.1016/j.quascirev.2004.12.004](#), Bibcode [2005QSRv...24.1123A](#))

7. † Kaarina Sarmaja-Korjonen et H. Seppä, « Abrupt and consistent responses of aquatic and terrestrial ecosystems to the 8200 cal. yr cold event: a lacustrine record from Lake Arapisto, Finland », *The Holocene*, vol. 17, n° 4, 2007, p. 457–467 ([DOI 10.1177/0959683607077020](https://doi.org/10.1177/0959683607077020))
8. † (en) William J. [ed.] Burroughs, *Climate : Into the 21st Century*, Cambridge, [Cambridge University Press](#), 2003, 240 p. (ISBN 0-521-79202-9)
9. † K. Ljung *et al.*, « South Atlantic island record reveals a South Atlantic response to the 8.2kyr event », *Climate of the Past*, vol. 4, n° 1, 2007, p. 35–45 ([DOI 10.5194/cp-4-35-2008](https://doi.org/10.5194/cp-4-35-2008), [lire en ligne](#) [archive])
10. † (en) Jürgen Ehlers et Gibbard, Philip L., *Quaternary Glaciations – Extent and Chronology. Part II : North America*, Amsterdam, [Elsevier](#), 2004, 257–262 p. (ISBN 0-444-51592-5)
11. † D. C. Barber *et al.*, « Forcing of the cold event 8,200 years ago by catastrophic drainage of Laurentide Lakes », *Nature*, vol. 400, n° 6742, 1999, p. 344–8 ([DOI 10.1038/22504](https://doi.org/10.1038/22504), [Bibcode 1999Natur.400..344B](#))
12. † Christopher R. W. Ellison et Chapman, Mark R.; Hall, Ian R., « Surface and Deep Ocean Interactions During the Cold Climate Event 8200 Years Ago », *Science*, vol. 312, n° 5782, 2006, p. 1929–32 ([PMID 16809535](https://pubmed.ncbi.nlm.nih.gov/16809535/), [DOI 10.1126/science.1127213](https://doi.org/10.1126/science.1127213), [Bibcode 2006Sci...312.1929E](#))
13. † ^{a et b} Wiersma A. P., Renssen H., 2009, Model-data comparison for the 8.2 ka BP event: confirmation of a forcing mechanism by catastrophic drainage of Laurentide Lakes, *Quaternary Science Reviews*, vol. 25, p. 63-88
14. † (en) Brian Fagan, *The Long Summer : How Climate Changed Civilization*, New York, [Basic Books](#), 2004, 107–108 p. (ISBN 0-465-02281-2)
15. † Friederike Wagner *et al.*, « Rapid atmospheric CO₂ changes associated with the 8,200-years-B.P. cooling event », *Proc. Natl. Acad. Sci. U.S.A.*, vol. 99, n° 19, 2002, p. 12011–4 ([PMID 12202744](https://pubmed.ncbi.nlm.nih.gov/12202744/), [PMCID 129389](https://pubmed.ncbi.nlm.nih.gov/129389/), [DOI 10.1073/pnas.182420699](https://doi.org/10.1073/pnas.182420699), [Bibcode 2002PNAS...9912011W](#))
16. † <https://www.uqam.ca/entrevues/2008/e2008-092.htm> [archive]
17. † Marc P. Hijma et Cohen, Kim M., « Timing and magnitude of the sea-level jump preluding the 8.2 kiloyear event », *Geology*, vol. 38, n° 3, mars 2010, p. 275–8 ([DOI 10.1130/G30439.1](https://doi.org/10.1130/G30439.1), [lire en ligne](#) [archive])
18. † Roblyn A. Kendall, J.X. Mitrovica, G.A. Milne, T.E. Törnqvist et Y. Li, « The sea-level fingerprint of the 8.2 ka climate event », *Geology*, vol. 36, n° 5, mai 2008, p. 423–6 ([DOI 10.1130/G24550A.1](https://doi.org/10.1130/G24550A.1), [lire en ligne](#) [archive])
19. † Budja M., 2007, The 8200 calBP 'Climate event' and the process of neolithisation in south-eastern Europe, *Documenta Praehistorica*, vol. 34, p. 191-201
20. † Pross J., Kotthoff U., Müller U. C., Peyron O., Dormoy I., Schmiedl G., Kalaitzidis S., Smith A. M., 2009, Massive perturbation in terrestrial ecosystems of the Eastern Mediterranean region associated with the 8.2 kyr B.P. climatic event, *Geology*, vol. 37 n. 10, p. 887-890
21. † Thiebault S., 2010, *Archéologie environnementale de la France*, La Découverte, Paris, p. 49
22. † Weninger B., Clare L., Rohling E. J., Bar-Yosef O., Böhner U., Budja M., Bundschuh M., Feurdean A., Gebel H.-G., Jöris O., Linstädter J., Mayewski P., Mühlenbruch T., Reingruber A., Rollefson G., Schyle D., Thissen L., Todorova H., Zielhofer C., 2009, The Impact of Rapid Climate Change on prehistoric societies during the Holocene in the Eastern Mediterranean, *Documenta Praehistorica*, vol. XXXVI, p. 7-59
23. † Peyron O., Goring S., Dormoy I., Kotthoff U., Pross J., de Beaulieu J.-L., Drescher-Schneider R., Vannière B., Magny M., 2011, Holocene seasonality changes in the central Mediterranean region reconstructed from the pollen sequences of Lake Accesa (Italy) and Tenaghi Philippon (Greece), *The Holocene*, vol. 21 n. 1, p. 131-146
24. † Weninger B., Alram-Stern E., Bauer E., Clare L., Danzelglocke U., Jöris O., Kubatzki C., Rollefson G., Todorova H., Van Andel T., 2006, Climate forcing due to the 8200 cal yr BP event observed at Early Neolithic sites in the eastern Mediterranean, *Quaternary Research*, vol. 66 n. 3, p. 401-420
25. † ^{a et b} Berger J.-F., Guilaine J., 2009, The 8200 cal BP abrupt environmental change and the Neolithic transition: A Mediterranean perspective, in Galop D., Carozza L., Magny M., Guilaine J. (Eds), *Rhythms and Causalities of the Anthropisation Dynamic in Europe Between 8500 and 2500 cal BP: Sociocultural and/or Climatic Assumptions*, *Quaternary International*, vol. 200, p. 31-49

26. ↑ Berger J.-F., Metallinou G., Guilaine J., 2014, Reconsidering the Mesolithic-Neolithic Transition at the Site of Sidari (Corfu, Greece). New Geoarchaeological and Radiocarbon Data, Evaluation of the Post-depositional Processes, in Manen C., Perrin T., Guilaine J. (Eds), *La transition néolithique en Méditerranée. Actes du colloque Transitions en Méditerranée, ou comment des chasseurs devinrent agriculteurs*, Toulouse, 14-15 avril 2011, Éditions Errance, Arles, p. 213-232
27. ↑ Mlekuž D., Budja M., Payton M., Bonsall C., Gašparič A. Ž., 2008, Reassessing the Mesolithic/Neolithic 'gap' in Southeast European cave sequences, *Documenta Praehistorica*, vol. 35, p. 239
28. ↑ Demoule J.-P., 2010, Naissance des inégalités et prémisses de l'État, in Demoule J.-P. (dir.), *La révolution néolithique dans le monde*, CNRS Éditions, Paris, p. 411-426
29. ↑ Berger J.-F., 2010, Les changements climato-environnementaux de l'Holocène ancien et la néolithisation du bassin méditerranéen, in Demoule J.-P. (dir.), *La révolution néolithique dans le monde*, CNRS Éditions, Paris, p. 121-144
30. ↑ Bonsall C., 2007, When was the Neolithic transition in the Iron Gates?, in Spataro M., Biagi P. (Eds), *A Short Walk Through the Balkans: the First Farmers of the Carpathian Basin and Adjacent Regions*, Società per la Preistoria e Protostoria della regione Friuli-Venezia Giulia, Quaderno 12, Trieste, p. 53-66
31. ↑ Sénépart I., 2007, Chapitre 1 - Premiers bergers et paysans des côtes méditerranéennes (5800-4500), in Demoule J.-P. (dir.), 2007, *La révolution néolithique en France*, La Découverte, Paris, p. 32
32. ↑ Guilaine J., 2010, Épilogue. Une révolution « humaniste », in Demoule J.-P. (dir.), *La révolution néolithique dans le monde*, CNRS Éditions, Paris, p. 476
33. ↑ Broodbank C., 2006, The Origins and Early Development of Mediterranean Maritime Activity, *Journal of Mediterranean Archaeology*, vol. 19 n. 2, p. 199-230
34. ↑ Fernández López de Pablo J., Gómez Puche M., 2009, Climate change and population dynamics during the Late Mesolithic and the Neolithic transition in Iberia, *Documenta Praehistorica*, vol. XXXVI, p. 67-96
35. ↑ Rahmani N., Lubell D., 2012, Chapter 4 – Early Holocene Climate Change and the Adoption of Pressure Technique in the Maghreb: The Capsian Sequence at Kef Zoura D (Eastern Algeria), in Desrosiers P. M. (Ed), *The Emergence of Pressure Blade Making. From Origin to Modern Experimentation*, Springer, New York, p. 139-155
36. ↑ Krauss R., Elenski N., Weninger B., Clare L., Çakırlar C., Zidarov P., 2014, Beginnings of the Neolithic in Southeast Europe: the Early Neolithic sequence and absolute dates from Džuljunica-Smārdeš (Bulgaria), *Documenta Praehistorica*, vol. XLI, p. 51-77
37. ↑ Weninger B., Clare L., Gerritsen F., Horejs B., Kraus R., Linstädter J., Özbal R., Rohling E. J., 2014, Neolithisation of the Aegean and Southeast Europe during the 6600-6000 calBC period of Rapid Climate Change, *Documenta Praehistorica*, vol. XLI, p. 1-31
38. ↑ Demoule J.-P., 2009, La colonisation néolithique de l'Europe balkanique : chronologie et processus, in *De Méditerranée et d'ailleurs... Mélanges offerts à Jean Guilaine*, Archives d'Écologie Préhistorique, Toulouse, p. 261

Voir aussi [[modifier](#) | [modifier le code](#)]

Articles connexes [[modifier](#) | [modifier le code](#)]

- [Petit âge glaciaire](#)
- [Dryas récent](#)
- [Élévation du niveau de la mer](#)
- [Événement climatique de 5900 AP](#)
- [Événement climatique de 4200 AP](#)
- [Événement de Bond](#)
- [Northgrippien](#) (étage géologique dans lequel se situe l'évènement climatique de 8200 AP)
- [Storegga](#)



Catégorie : Événement climatique du Cénozoïque [+]

La dernière modification de cette page a été faite le 29 août 2025 à 11:17.

Droit d'auteur : les textes sont disponibles sous [licence Creative Commons attribution, partage dans les mêmes conditions](#) ; d'autres conditions peuvent s'appliquer. Voyez les [conditions d'utilisation](#) pour plus de détails, ainsi que les [crédits graphiques](#). En cas de réutilisation des textes de cette page, voyez [comment citer les auteurs et mentionner la licence](#).

Wikipedia® est une marque déposée de la [Wikimedia Foundation, Inc.](#), organisation de bienfaisance régie par le paragraphe [501\(c\)\(3\)](#) du code fiscal des États-Unis.

[Politique de confidentialité](#) [À propos de Wikipédia](#) [Avertissements](#) [Contact](#) [Contacts juridiques & sécurité](#) [Code de conduite](#)

[Développeurs](#) [Statistiques](#) [Déclaration sur les témoins \(cookies\)](#) [Version mobile](#)

